

## О ТОЧНОМ РЕШЕНИИ ОСЕСИММЕТРИЧНОЙ ТЕРМОУПРУГОЙ КРАЕВОЙ ЗАДАЧИ ДЛЯ ТРАНСВЕРСАЛЬНО-ИЗОТРОПНОГО ПРОСТРАНСТВА СО СФЕРОИДАЛЬНОЙ НЕОДНОРОДНОСТЬЮ

Исследование напряженно-деформированного состояния (НДС) в пространственных канонических телах с усложненными физико-механическими свойствами, в частности, с трансверсальной изотропией материала тела необходимо при создании моделей пористых и композиционных материалов, а также в расчетах на прочность при конструировании изделий из этих материалов. В большинстве опубликованных работ по этой проблеме использован метод конечных элементов [1, 2]. Одним из основных аналитических методов решения краевых задач для трансверсально-изотропных канонических тел является метод разделения переменных, который применялся в работах [3–5]. В работе [5] была предпринята попытка методом Фурье построить точные решения уравнений равновесия термоупругого трансверсально-изотропного пространства со сфероидальной полостью. Однако ввиду того что построенная вектор-функция не является регулярной в рассматриваемой области, она не может считаться решением. Распределения напряжений в трансверсально-изотропном многосвязном каноническом теле без учета температурного поля исследовались в работе [6], в которой использовался обобщенный метод Фурье (ОМФ).

В настоящей статье впервые построены общие точные решения основных осесимметричных краевых задач теории термоупругости для трансверсально-изотропного пространства со сфероидальной неоднородностью. Полученные результаты использованы при решении осесимметричной краевой задачи термоупругости для трансверсально-изотропного пространства с абсолютно твердым и равномерно нагретым сфероидальным включением. Предложенная методика может быть распространена на любой тип граничных условий и неодносвязные области. Проведен численный анализ распределения напряжений на поверхности и в экваториальной плоскости включения.

**1. Постановка задачи.** Рассмотрим первую осесимметричную краевую задачу теории упругости для трансверсально-изотропного полупространства со сфероидальной неоднородностью. Предполагается, что трансверсально-изотропное пространство, имеющее внутреннюю сфероидальную границу, занимает область  $\Omega$ , с центром неоднородности совмещено начало декартовой системы координат  $(x_1, x_2, x_3)$ , а оси  $Ox_3$ , анизотропии и симметрии рассматриваемого тела совпадают. Исследуемая краевая задача в силу стационарности распадается на зада-

чу теплопроводности (1, 2) и задачу термоупругости (3, 4), то есть задачу решения неоднородной системы уравнений равновесия в перемещениях трансверсально изотропной среды

$$k_{ij}T_{,ij} = 0, \quad i = 1, 2, 3; \quad (1)$$

$$T|_{\Gamma} = \sum_{n=1}^{\infty} b_n^{(3)} P_n(\cos \eta); \quad (2)$$

$$c_{ij}u_{i,jj} + \sum_{j \neq i} b_{ij}u_{i,jj} + \sum_{j \neq i} a_{ij}u_{i,jj} = \sum_{k=1}^3 c_{ik} \alpha_k T_{,i}, \quad i, j = 1, 2, 3; \quad (3)$$

$$\mathbf{U}|_{\Gamma} = \sum_{n=0}^{\infty} \left[ b_n^{(1)} P_n^{(1)}(\cos \eta) \mathbf{e}_{\rho} + b_n^{(0)} P_n(\cos \eta) \mathbf{e}_z \right] \quad (4)$$

в области  $\Omega$ , где  $k_{ij}$  - коэффициенты теплопроводности ( $k_{11} = k_{22}$ );  $\alpha_k$  - коэффициенты линейного теплового расширения;  $b_n^{(j)}$  - заданные коэффициенты;  $c_{ij} = E_{ijij}$  при  $i, j = 1, 2, 3$ ;  $c_{44} = E_{1313} = E_{2323}$ ;  $\frac{c_{11} - c_{12}}{2} = E_{1212}$ ;  $a_{ij} = E_{ijij}$  и  $b_{ij} = a_{ij} + c_{ij}$  при  $i \neq j$ ;  $E_{ijkl}$  - элементы тензора упругих постоянных;  $\Gamma$  - граница сфероида;  $\mathbf{F}$  - усилие на граничной поверхности;  $\rho, \mathbf{z}$  и  $\mathbf{e}_{\rho}, \mathbf{e}_z$  - соответственно координаты и орты цилиндрической системы координат, совмещенной с декартовой;  $P_n^m(x)$  - присоединенная функция Лежандра первого рода.

Уравнение  $\left(\frac{\rho}{d_2}\right)^2 + \left(\frac{z}{d_1}\right)^2 = 1$  задает границу включения.

**2. Построение общего решения.** Вводятся три вытянутые сфероидальные (сжатые сфероидальные, сферические) системы координат  $(\xi_j, \eta_j, \varphi)$  ( $j = 1, 2, 3$ ), координаты которых связаны с цилиндрическими координатами такими соотношениями:

$$\begin{cases} \rho = c_j \cdot \operatorname{sh} \xi_j \cdot \sin \eta_j, & \eta_j \in [0; \pi]; \\ z = \sqrt{v_j} \cdot c_j \cdot \operatorname{ch} \xi_j \cdot \cos \eta_j, & \xi_j \in [0; \infty), \end{cases}$$

где  $c_j > 0$  - параметры сфероидальных систем координат;  $v_3 = \frac{k_{33}}{k_{11}}$ ;

$v_1, v_2$  - два разных положительных корня уравнения:

$$c_{44}c_{11}v^2 + (c_{13}^2 + 2c_{13}c_{44} - c_{11}c_{33})v + c_{33}c_{44} = 0.$$

Уравнения поверхности сфероидальной полости запишутся в виде  $\xi_j = \xi_{j0}$ . На граничной поверхности должны выполняться такие соотношения:

$$c_1 \cdot sh \xi_{10} = c_2 \cdot sh \xi_{20} = c_3 \cdot sh \xi_{30};$$

$$\sqrt{v_1} c_1 \cdot ch \xi_{10} = \sqrt{v_2} c_2 \cdot ch \xi_{20} = \sqrt{v_3} c_3 \cdot ch \xi_{30}.$$

Тогда  $\cos \eta_j = \frac{z}{\sqrt{v_j} c_j \cdot ch \xi_{j0}}$  на поверхности сфероида не зависит от  $j$ .

Будем искать решение задачи теплопроводности в виде

$$T = \sum_{n=0}^{\infty} \frac{a_n^{(3)}}{Q_n(q_{3,0})} u_{3,n}^+,$$

а вектор перемещений – в виде

$$\mathbf{U} = \sum_{j=1}^2 \sum_{n=0}^{\infty} \frac{a_n^{(j)}}{Q_n^{(1)}(q_{j,0})} \mathbf{U}_{j,n,0}^+(\xi_j, \eta_j) + \tilde{\nabla}_1 \varphi + \tilde{\nabla}_2 \psi - \mathbf{U}_0,$$

где  $a_n^{(j)}$  – неизвестные коэффициенты;  $\mathbf{z} = \sqrt{v_j} \mathbf{z}_j$ ;  $k_j = \frac{b_{31} v_j}{(a_{33} - a_{31} v_j)}$ ;

$$\mathbf{U}_{j,n,0}^+ = -u_{j,n}^{+(1)} \mathbf{e}_\rho - \frac{k_j}{\sqrt{v_j}} u_{j,n}^{+(0)} \mathbf{e}_z; u_{j,n}^{+(m)} = Q_n^{-m}(q_j) P_n^m(p_j) =$$

$= (-1)^m Q_n^m(q_j) P_n^{-m}(p_j)$ ;  $q_j = ch(\xi_j)$ ;  $p_j = \cos(\eta_j)$ ;  $Q_n^m(x)$  - присоединенная функция Лежандра второго рода;

$$\mathbf{U}_0 = \left[ \left( -1 + \frac{\gamma_3}{v_2 - v_1} \right) \frac{a_0^{(3)} \gamma_1 c_3 \sqrt{v_3}}{Q_0(q_{3,0}) (v_1 - v_3)} \frac{1}{2} \ln \left( \frac{q_{3,0}^2 - 1}{q_{1,0}^2 - 1} \right) + \right.$$

$$\left. + \frac{a_0^{(3)}}{Q_0(q_{3,0})} \left( \gamma_2 - \frac{\gamma_1 \gamma_3}{(v_2 - v_1)} \right) \frac{c_3 \sqrt{v_3}}{v_2 - v_3} \frac{1}{2} \ln \left( \frac{q_{3,0}^2 - 1}{q_{2,0}^2 - 1} \right) \right] \mathbf{e}_z;$$

$\tilde{\nabla}_1 \varphi + \tilde{\nabla}_2 \psi - \mathbf{U}_0$  – частное решение неоднородного уравнения равновесия. Для его построения введены такие дифференциальные операторы

$$\tilde{\nabla}_1 = k_1 \mathbf{e}_{x_1} \frac{\partial}{\partial x_1} + k_1 \mathbf{e}_{x_2} \frac{\partial}{\partial x_2} + \mathbf{e}_{x_3} \frac{\partial}{\partial x_3};$$

$$\tilde{\nabla}_2 = \mathbf{e}_{x_1} \frac{\partial}{\partial x_1} + \mathbf{e}_{x_2} \frac{\partial}{\partial x_2} - \mathbf{e}_{x_3} \frac{\partial}{\partial x_3},$$

где  $\{\mathbf{e}_{x_i}\}_{i=1}^3$  - орты декартовой системы координат, выбранной так, что

$Ox_3$  совпадает с осью анизотропии;  $k_j = \frac{b_{31}v_j}{a_{33} - a_{31}v_j}$ . После подста-

новки  $\tilde{\nabla}_1\varphi + \tilde{\nabla}_2\psi - \mathbf{U}_0$  в неоднородное уравнение равновесия получаем систему дифференциальных уравнений для  $\varphi$  и  $\psi$

$$\left[ \Delta_2 + v_1 \frac{\partial^2}{\partial x_3^2} \right] \psi = \gamma_1 T; \quad (5)$$

$$\left[ \Delta_2 + v_2 \frac{\partial^2}{\partial x_3^2} \right] \varphi = \gamma_2 T + \gamma_3 \frac{\partial^2 \psi}{\partial x_3^2}; \quad (6)$$

$$\gamma_1 = \frac{v_1\beta_1 - k_1\beta_3}{c_{44}(1+k_1)}; \quad \gamma_2 = \frac{\beta_3 c_{44}(1+k_1) - c_{13}(v_1\beta_1 - k_1\beta_3)}{v_1 c_{11} c_{44}(1+k_1)};$$

$$\gamma_3 = \frac{c_{33} + v_1 c_{13}}{v_1 c_{11}}; \quad \beta_i = \sum_{k=1}^3 c_{ik} \alpha_k.$$

В качестве решений последней системы выберем такие регулярные функции:

$$\psi = \frac{\gamma_1}{v_1 - v_3} \sum_{n=0}^{\infty} \frac{a_n^{(3)}}{Q_n(q_{3,0})} \frac{c_3^2 v_3}{2n+1} \left\{ \frac{1}{2n-1} \left[ (u_{3,n-2}^+ - u_{3,n}^+) - \frac{c_1 \sqrt{v_1}}{c_3 \sqrt{v_3}} (u_{1,n-2}^+ - u_{1,n}^+) \right] - \frac{1}{2n+3} (u_{3,n}^+ - u_{3,n+2}^+) \right\};$$

$$\varphi = \varphi_1 + \varphi_2, \quad \varphi_1 = \frac{\gamma_3}{v_2 - v_1} \psi,$$

$$\varphi_2 = \left( \gamma_2 - \frac{\gamma_1 \gamma_3}{v_2 - v_1} \right) \frac{1}{v_2 - v_3} \sum_{n=0}^{\infty} \frac{a_n^{(3)}}{Q_n(q_{3,0})} \frac{c_3^2 v_3}{2n+1} \left\{ \frac{1}{2n-1} \left[ (u_{3,n-2}^+ - u_{3,n}^+) - \frac{c_1 \sqrt{v_1}}{c_3 \sqrt{v_3}} (u_{2,n-2}^+ - u_{2,n}^+) \right] - \frac{1}{2n+3} (u_{3,n}^+ - u_{3,n+2}^+) \right\}.$$

Тогда слагаемые, отвечающие за частное неоднородное решение уравнение равновесия, примут вид

$$\tilde{\nabla}_2 \psi = \frac{\gamma_1 c_3 \sqrt{v_3}}{v_1 - v_3} \sum_{n=0}^{\infty} \frac{a_n^{(3)}}{Q_n(q_{3,0}) (2n+1)} \left\{ -\sqrt{v_3} u_{3,n-1}^{+(1)} + \sqrt{v_1} u_{1,n-1}^{+(1)} + \sqrt{v_3} u_{3,n+1}^{+(1)} \mathbf{e}_\rho - \left[ -u_{3,n-1}^+ + u_{1,n-1}^+ + u_{3,n+1}^+ \right] \mathbf{e}_z \right\};$$

$$\begin{aligned}\tilde{\nabla}_1 \Phi_1 &= \frac{\gamma_3}{v_2 - v_1} \frac{\gamma_1 c_3 \sqrt{v_3}}{v_1 - v_3} \sum_{n=0}^{\infty} \frac{a_n^{(3)}}{Q_n(q_{3,0})(2n+1)} \left\{ k_1 \left[ -\sqrt{v_3} u_{3,n-1}^{+(1)} + \right. \right. \\ &\quad \left. \left. + \sqrt{v_1} u_{1,n-1}^{+(1)} + \sqrt{v_3} u_{3,n+1}^{+(1)} \right] \mathbf{e}_\rho + \left[ -u_{3,n-1}^+ + u_{1,n-1}^+ + u_{3,n+1}^+ \right] \mathbf{e}_z \right\}; \\ \tilde{\nabla}_1 \Phi_2 &= \left( \gamma_2 - \frac{\gamma_1 \gamma_3}{v_2 - v_1} \right) \frac{c_3 \sqrt{v_3}}{v_2 - v_3} \sum_{n=0}^{\infty} \frac{a_n^{(3)}}{Q_n(q_{3,0})(2n+1)} \left\{ k_1 \left[ -\sqrt{v_3} u_{3,n-1}^{+(1)} + \right. \right. \\ &\quad \left. \left. + \sqrt{v_2} u_{2,n-1}^{+(1)} + \sqrt{v_3} u_{3,n+1}^{+(1)} \right] \mathbf{e}_\rho + \left[ -u_{3,n-1}^+ + u_{2,n-1}^+ + u_{3,n+1}^+ \right] \mathbf{e}_z \right\}.\end{aligned}$$

Заметим, что если к  $\varphi$  и  $\psi$  прибавить  $\sum_{i=1}^3 C_i X_i + C_0$ , где  $C_k$  – постоянные,  $k = 0, 1, 2, 3$ , то результат будет также является решением системы (5), (6). Перемещения  $\tilde{\nabla}_1 \Phi + \tilde{\nabla}_2 \Psi$  включают в себя постоянный сдвиг, а именно  $\mathbf{U}_0$ . Исключим его из решения.

Неизвестные коэффициенты  $a_n^{(1)}$  и  $a_n^{(2)}$  можно найти, удовлетворив граничным условиям на сфероидальной поверхности. Получим систему линейных алгебраических уравнений

$$\begin{cases} a_n^{(1)} r_{1,n}^{+(1)} + a_n^{(2)} r_{2,n}^{+(1)} = \tilde{b}_n^{(1)} \\ a_n^{(1)} r_{1,n}^{+(0)} + a_n^{(2)} r_{2,n}^{+(0)} = \tilde{b}_n^{(0)} \end{cases}, \quad n = 0, 1, 2, \dots,$$

где 
$$r_{j,n}^{+(1)} = 1, \quad r_{j,n}^{+(0)} = -\frac{k_j}{\sqrt{v_j}} \frac{Q_n(q_{j,0})}{Q_n^{(1)}(q_{j,0})}, \quad j = 1, 2;$$

$$\tilde{b}_0^{(t)} = (b_0^{(t)} + U_0) \delta_{0,t} - \bar{b}_{-1}^{(t)} - \bar{b}_0^{(t)}, \quad \tilde{b}_m^{(t)} = (-m(m+1))^t b_m^{(t)} - \bar{b}_m^{(t)},$$
  
 $m = 1, 2, \dots, t = 0, 1; U_0 = \mathbf{U}_0 \cdot \mathbf{e}_z; \delta_{i,j}$  - дельта-символ Кронекера;

$$\begin{aligned}\bar{b}_k^{(t)} &= -\frac{\gamma_1 c_3 \sqrt{v_3}}{v_1 - v_3} \left\{ (\sqrt{v_3})^t (\tilde{a}_{k+1}^{(3)} - \tilde{a}_{k-1}^{(3)}) Q_k^{(t)}(q_{3,0}) + (\sqrt{v_1})^t \tilde{a}_{k+1}^{(3)} Q_k^{(t)}(q_{1,0}) \right\} + \\ &\quad + \left( \gamma_2 + \frac{\gamma_1 \gamma_3}{v_1 - v_3} \right) \frac{c_3 \sqrt{v_3}}{v_2 - v_3} (-k_1)^t \left\{ (\sqrt{v_3})^t (\tilde{a}_{k+1}^{(3)} - \tilde{a}_{k-1}^{(3)}) Q_k^{(t)}(q_{3,0}) + \right. \\ &\quad \left. + (\sqrt{v_2})^t \tilde{a}_{k+1}^{(3)} Q_k^{(t)}(q_{2,0}) \right\}, \quad \tilde{a}_k^{(3)} = \begin{cases} \frac{a_k^{(3)}}{Q_k(q_{3,0})(2k+1)}, & k = 0, 1, 2, \dots; \\ 0, & k < 0 \end{cases}\end{aligned}$$

**3. Задача о трансверсально-изотропном пространстве с абсолютно твердым равномерно нагретым сфероидальным включением.** Будем считать сфероидальную неоднородность абсолютно твердым включением, имеющим температуру  $T_0$ . Тогда граничные условия для задач (1, 2) и (3, 4) будут соответственно:

$$T_{|\Gamma} = T_0;$$

$$\mathbf{U}_{|\Gamma} = 0.$$

Удовлетворяя граничным данным, найдем неизвестные коэффициенты:  $a_0^{(3)} = T_0$ ,  $a_n^{(3)} = 0$  для  $n > 0$ ;  $a_n^{(1)} = a_n^{(2)} = 0$  для  $n > 1$ . Коэффициенты  $a_0^{(j)}$ ,  $a_1^{(j)}$  для  $j = 1, 2$  - являются решениями систем алгебраических уравнений 2-го порядка. На рисунках 1, 2 приведены графики напряжений для таких соотношений полуосей вытянутого сфероида:

$\frac{d_1}{d_2} = 4, 2, 1.5, 1.2$ , графики пронумерованы в том же порядке.

На графиках рисунка 1 видно, что чем больше соотношения между большой и малой полуосями, тем медленней затухают приведенные напряжения в экваториальной плоскости, а графики рисунка 2 показывают, что наибольшее изменение приведенных напряжений на поверхности вытянутого сфероидального включения возникает, когда его форма близка к сферической.

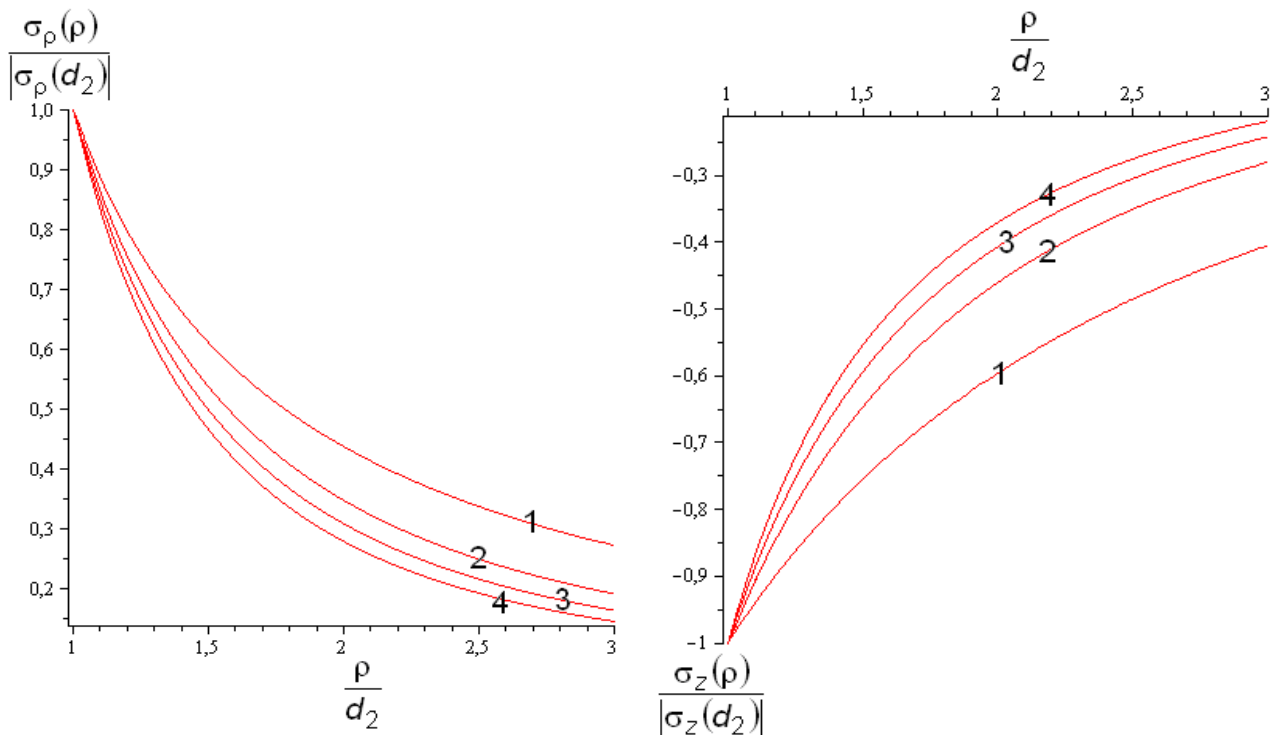


Рисунок 1 – Напряжения в экваториальной плоскости

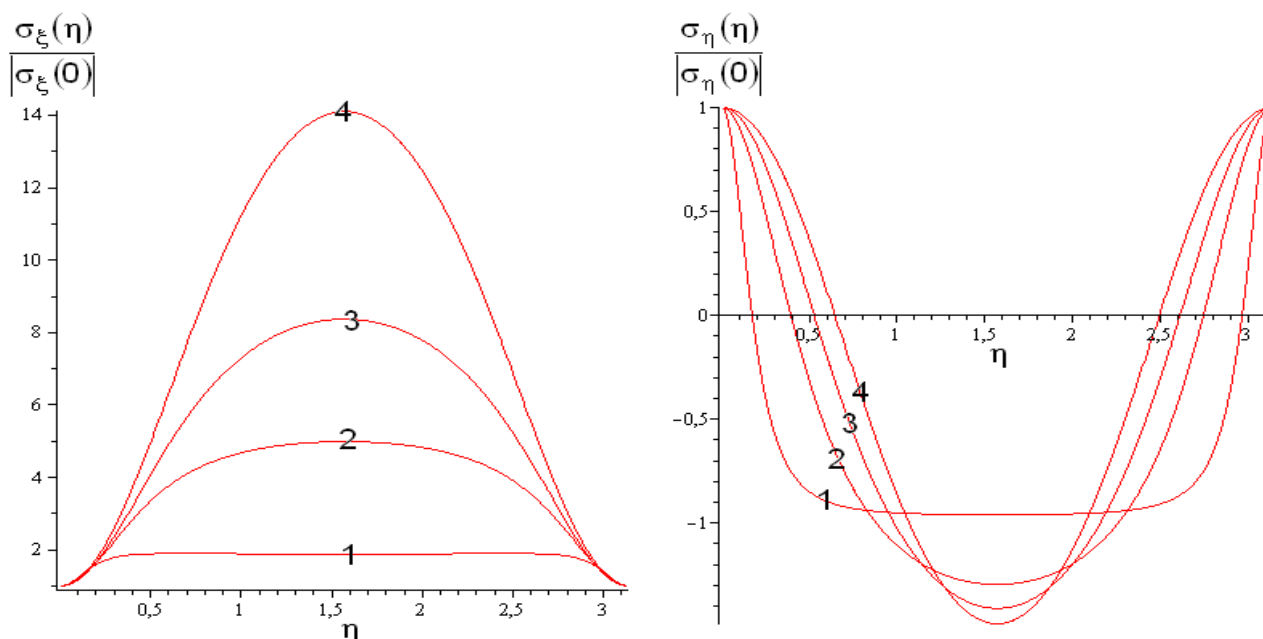


Рисунок 2 – Напряжения на поверхности включения

#### СПИСОК ИСПОЛЬЗОВАННЫХ ИСТОЧНИКОВ

1. Z. Haktan Karadeniz. A numerical study on the coefficients of thermal expansion of fiber reinforced composite materials/ Z. Haktan Karadeniz and Dilek Kumlutas // Composite Structures. – V. 78, Issue 1. – 2007. – P. 1 – 10.

2. Nao-Aki Noda. Two-dimensional and axisymmetric unit cell models in the analysis of composite materials / Nao-Aki Noda, Yasushi Takase, Yasu-Aki Shukuwa // Composite Structures. – V. 79, Issue 2. – 2007. – P. 163 – 173

3. Ding H.J. Analytical thermoelastodynamic solutions for a nonhomogeneous transversely isotropic hollow sphere / H.J. Ding, H.M. Wang, W.W. Chen // Appl. Mech. – 2002. – 72, № 8. – P. 545 – 553.

4. Подильчук Ю.Н. Пространственные задачи теории упругости и пластичности. Граничные задачи статики упругого тела / Ю.Н. Подильчук. – К.: Наук. думка, 1984. – Т. 1. – 303 с.

5. Подильчук Ю.Н. Темоупругая деформация трансверсально-изотропного втянутого сфероида / Ю.Н. Подильчук // Прикладная механика. – 1987. – 23, № 12. – С. 25 – 34.

6. Николаев А.Г. Круговая трещина в трансверсально-изотропном сфероиде под действием нормальной нагрузки / А.Г. Николаев, Ю.А. Щербакова // Теоретическая и прикладная механика. – 2003. – Вып. 38. – С. 9 – 14.

*Поступила в редакцию 01.06.2011.*

*Рецензент: д-р физ.-мат. наук, проф. В.С. Проценко, Национальный аэрокосмический университет им. Н.Е. Жуковского «ХАИ», Харьков*